

## Mines Ponts MP - 2024 - Physique 2

Q1.  $[k] = \frac{[d_{\text{par}}]}{[T - T_b]} = \frac{[d_{\text{par}}]}{\Theta}$  ← en  $\text{W} \cdot \text{m}^{-2}$

↑  
dimension

donc  $k$  s'exprime en  $\text{W} \cdot \text{m}^{-2} \cdot \text{K}^{-1}$

De plus, la loi de Fourier donne :

$$[\lambda] = \frac{[j]}{(\text{grad } T)}$$

donc  $\lambda$  est en  $\frac{\text{W} \cdot \text{m}^{-2}}{\text{K} \cdot \text{m}^{-1}} = \text{W} \cdot \text{m}^{-1} \cdot \text{K}^{-1}$

cas 1D sphérique :  $T = T(r, t)$  et  $\vec{j}_e = -\lambda \text{grad}(T)$   
 $= -\lambda \frac{\partial T}{\partial r} \vec{u}_r$



éléments  $\Sigma$  de volume entre les sphères de rayons  $r$  et  $r+dr$

1<sup>er</sup> pp sur  $\Sigma$  entre  $t$  et  $t+dt$

$d(\delta U) = \delta Q + \delta W$  ↑ transformation  
mécanique

$$\delta m c \Delta T = [\phi_{\text{th}}(r) - \phi_{\text{th}}(r+dr)] dt$$

$$\rho \delta V c \Delta T = - \frac{\partial \phi_{\text{th}}}{\partial r} dr dt$$

$$\rho 4\pi r^2 dr c \Delta T = - \frac{\partial}{\partial r} (j_e(r) 4\pi r^2) dr dt$$

$$T(r, t+dt) - T(r, t) = \frac{\partial T}{\partial t} dt$$

$$\rho 4\pi r^2 c \frac{\partial T}{\partial t} = - \frac{\partial}{\partial r} (j_e 4\pi r^2)$$

La loi de Fourier donne  $j_e = -\lambda \frac{\partial T}{\partial r}$

$$\rho c \frac{\partial T}{\partial t} = \lambda + \frac{1}{r^2} \frac{\partial}{\partial r} \left( r^2 \frac{\partial T}{\partial r} \right)$$

Q2)  $D_e \stackrel{df}{=} \frac{\lambda}{\rho c}$

La longueur caractéristique du matériau est  $l = R$ .

Le temps caractéristique associé au phénomène de diffusion

$$\text{est } \tau = \frac{R^2}{D_R}$$


La température dans le matériau pourra être considérée comme uniforme si la diffusion a le temps d'opérer,

$$\text{soit } \tau \ll \Delta t \quad \Leftrightarrow \quad \boxed{\frac{R^2}{D_R} \ll \Delta t}$$

Q3)

$$C_{th} = m_{bulk} * c$$

$$\boxed{C_{th} = \rho * \frac{4}{3} \pi R^3 * c}$$

$$R_{th} \stackrel{\text{def}}{=} \frac{T - T_f}{\Phi_{th}}$$


$$\text{avec } \Phi_{th} = \iint_{\text{surface}} \vec{j}_{pr} \cdot \vec{S}$$

$$= \iint k (T - T_f) \vec{u}_r \cdot \vec{S} \vec{u}_r$$

uniforme.

$$= k (T - T_f) * 4\pi R^2$$

d'où

$$\boxed{R_{th} = \frac{1}{4\pi R^2 k}}$$

Q4) Dans le fluide, l'équation de diffusion

$$\text{s'écrit } \rho' c' \frac{\partial T}{\partial t} = \frac{\lambda'}{r^2} \frac{\partial}{\partial r} \left( r^2 \frac{\partial T}{\partial r} \right)$$

or " on néglige  $c'$  " annule le terme de gauche.

$$\text{d'où } \frac{\lambda'}{r^2} \frac{\partial}{\partial r} \left( r^2 \frac{\partial T}{\partial r} \right) = 0$$

$$\text{soit } \frac{\partial}{\partial r} \left( r^2 \frac{\partial T}{\partial r} \right) = 0$$

$$\text{d'où } r^2 \frac{\partial T}{\partial r} = K(t)$$

$$\Leftrightarrow \frac{\partial T}{\partial r} = \frac{K(t)}{r^2}$$

$$\Leftrightarrow \frac{\partial T}{\partial r} = \frac{K(t)}{r^2}$$

$$\Leftrightarrow T_f(r, t) = -\frac{K(t)}{r} + Q(t)$$

or •  $\lim_{r \rightarrow +\infty} T_f(r, t) = T_0$  ✓ donne  $Q(t) = T_0$

• en  $r = R^+$  ;  $T_f(r, t) = T_s(t)$

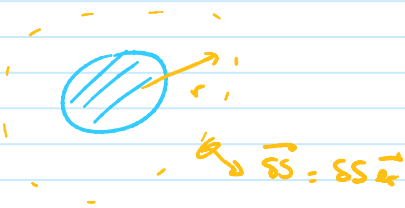
d'où  $-\frac{K(t)}{R} + T_0 = T_s(t)$

soit  $K(t) = -R(T_s(t) - T_0)$

d'où  $T_f(r, t) = T_0 + \frac{R}{r} (T_s(t) - T_0)$

ce n'est pas clair dans l'énoncé mais on le voit sur la FIGURE 1

Q5) Calculons le flux thermique  $\Phi_R$  à travers une sphère de rayon  $r$  dans le fluide



$$\Phi_R = \iint_{\text{sphère de rayon } r} \vec{j} \cdot \vec{dS}$$

$$= \iint -\lambda \frac{\partial T}{\partial r} \vec{e}_r \cdot \vec{dS} \vec{e}_r$$

$$= \lambda' \iint \frac{R(T_s(t) - T_0)}{r^2} dS$$

$r$  est sur sphère

d'où  $\Phi_R = \frac{\lambda' R (T_s(t) - T_0)}{r^2} \underbrace{\int dS}_{4\pi r^2}$

$\Phi_R = 4\pi \lambda' R (T_s(t) - T_0)$

on remarque que  $\Phi_R$  est indépendant de  $r$ , comme en régime permanent (on est ici en A.R.Q.S)

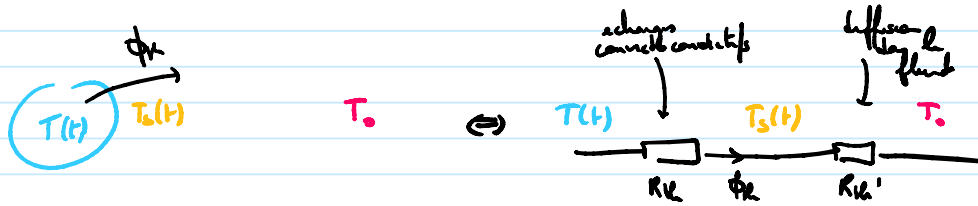
on remarque que  $\Phi_R$  est proportionnel à  $T_s - T_0$

De ces 2 remarques, il semble légitime de définir les transferts thermiques en terme de résistance thermique.

$$R_{th} \stackrel{\text{def}}{=} \frac{T_s(t) - T_0}{\Phi_R} = \frac{1}{4\pi \lambda' R}$$

Q6) on peut donc représenter le schéma équivalent de la situation

06) on peut donc représenter le schéma équivalent de la situation



$$\begin{aligned}
 \text{Ainsi } R_{k,eq} &= R_k + R_{k'} = \frac{1}{4\pi R^2 k} + \frac{1}{4\pi d'R} \\
 &= \frac{1}{4\pi d'R} \left( 1 + \frac{d'}{Rk} \right)
 \end{aligned}$$

$$R_{k,eq} \approx \frac{1}{4\pi R^2 k} \quad \lambda' \gg Rk$$

schéma de bande solide

1<sup>er</sup> principe entre t et t+dt



$$dU = \delta Q + \delta W \quad \text{transformée isochore.}$$

$$\underbrace{\rho \cdot \frac{4}{3}\pi R^3}_{\text{masse de la bande}} \cdot c \cdot dT = -\phi_R dt = -\frac{T(t) - T_0}{R_{k,eq}} dt$$

$$\text{d'où } \frac{dT}{dt} + \frac{1}{R_{k,eq} \cdot \frac{4}{3}\pi R^3 \rho c} T = \frac{T_0}{R_{k,eq} \cdot \frac{4}{3}\pi R^3 \rho c}$$

$$\approx \frac{1}{R_{k,eq} \cdot \frac{4}{3}\pi R^3 \rho c} = \frac{4\pi R^2 k}{\frac{4}{3}\pi R^3 \rho c} = \frac{3k}{\rho R c} \stackrel{\text{def}}{=} \frac{1}{\tau}$$

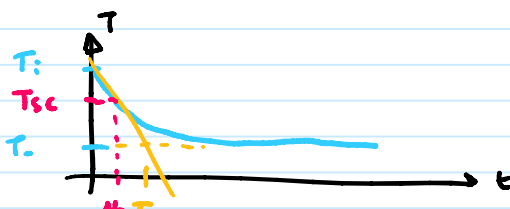
$$\text{Ainsi } \boxed{\frac{dT}{dt} + \frac{T}{\tau} = \frac{T_0}{\tau}}$$

$$\text{07) } \text{d'où } T = A e^{-t/\tau} + T_0 \quad \text{solution particulière}$$

avec solution générale homogène associée

$$T(0) = T_i = A + T_0, \text{ on obtient}$$

$$\boxed{T = (T_i - T_0) e^{-t/\tau} + T_0}$$



la transition c → sc débute lorsque T = T<sub>sc</sub>



ainsi

$$T_{sc} = (T_i - T_0) e^{-\Delta t / \tau} + T_0$$

$$\Delta t = -\tau \ln \frac{T_0 - T_{sc}}{T_i - T_0}$$

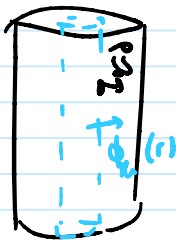
08)  $P_s(r) = \iiint_{\text{surface}} p_u \delta \tau = p_u \pi r^2 H = P_s(r)$

*surface*  
*aylesha le rayon r le hauteur H*

09) en régime établi considérons le système

$\Sigma$ : cylindre de rayon  $r$  et de hauteur  $H$

le 1<sup>er</sup> ppe entre  $t$  et  $t+dt$  donne



$$dQ = \delta Q + \delta W$$

*0 en RP* *transformer uschore.*

$$0 = -\phi_{th}(r) dt + P_s(r) dt$$

*Evacué à travers la frontière* *produit dans le système.*

D'au  $\phi_{th}(r) = P_s(r)$

$$\iint_{S_{th}(r)} \vec{j}_{th}(r) \cdot \vec{\delta S}$$

$$\iint_{S_{th}(r)} \vec{j}_{th}(r) \cdot \vec{e}_r \cdot \delta S \vec{e}_r = j_{th}(r) = 2\pi r H$$

*r et sur la surface latérale*

D'au  $j_{th}(r) = \frac{P_s(r)}{2\pi r H}$

$$= \frac{p_u \pi r^2 H}{2\pi r H}$$

Ainsi  $j_{th}(r) = \frac{p_u r}{2}$

010) en  $r = R$ , la continuité de  $j_{th}$  donne

$$j_{th}(r = R^+) = j_{th}(r = R^-)$$

$$j_{th}(r=R^+) = j_{th}(r=R^-)$$

$$\rightarrow \text{ " } \quad \text{ " } \leftarrow \text{ diffusion (09)}$$

$$h(T_s - T_0) = p_{\mu} \frac{R}{2}$$

$$T_s = T_0 + \frac{p_{\mu} R}{2h}$$

Qd) c'est en  $r=0$  que  $T$  est max [le plus loin du liquide de refroidissement].

$$or \quad j_{th} = - \frac{\lambda \partial T}{\partial r} = \frac{p_{\mu} r}{2} \quad \text{donne}$$

$$\uparrow$$
 loi de Fourier

$$\frac{\partial T}{\partial r} = - \frac{p_{\mu} r}{2\lambda} \quad \left[ \text{on retrouve bien que } T \text{ décroît avec } r \right]$$

$$d'oi \quad \int_{T_s}^R dT = - \frac{p_{\mu}}{2\lambda} \int_0^R r dr$$

$$T_s - T_{max} = - \frac{p_{\mu} R^2}{4\lambda}$$

$$T_{max} = T_s + \frac{p_{\mu} R^2}{4\lambda} = T_0 + \frac{p_{\mu} R}{2h} + \frac{p_{\mu} R^2}{4\lambda}$$

Le phénomène de quench se ne produit pas si

$$T_{max} < T_{sc}$$

$$\Leftrightarrow T_0 + p_{\mu} \left( \frac{R}{2h} + \frac{R^2}{4\lambda} \right) < T_{sc}$$

$$\Leftrightarrow p_{\mu} < \frac{T_{sc} - T_0}{R/2h + R^2/4\lambda}$$